



دانشگاه شهرداری  
دانشکده مهندسی برق و کامپیوتر

پایان نامه دوره کارشناسی ارشد مهندسی برق-قدرت

موضوع:

کنترل فرکانس در شبکه های مجرزا همراه با مولد های بادی

استاد راهنما:

جناب آقای دکتر مصطفی جزائری

استاد مشاور:

جناب آقای دکتر جعفر ادبی

نام دانشجو:

سیمده نفیسه میرنیا هریکنده ئی

شهریور ماه ۱۳۹۳

تعداد:

مقدس ترین و اولویت نامه دلم

پرورداده مبانم پاس عافظه سرشار و گرامی امید نش و چو مثان، بپاس قلب بی بزرگشان که فریادس است.

بهرم که شنید لطف و علوفت الهی در زندگی، و اید بودن من است.

برادرانم، همراهان بیشی ترگی ام

روح پاک مادر بهرم

که بهواره مشوق و حامی من داین راه بوده ام، ایدوارم رو خشان قرین رحمت الهی فرار کسید.

## مشکروقدرانی

با پاس یکران و شکری انتباہ دکاه ذات اقدس الهی، که توفیت انجام این رساله را بینده تحریر و ادب احمد و نای او که هر قدر زیاد باشد، بازد مقابل لطف او امکی بیش نیست.

وابسب می داعم پاس فراوان خود را شمار استاد راهنمای کارآقدم جناب آقا می دکتر مصطفی چنانزی جایم که سحق دخول این دوره تحصیلی و تدوین پایان نامه از پیچ کوششی درین فورزیند.

برخیش لازم می دانم از شاور محترم جاب آفای دکتر جعفر ادبی و سایر اساتید نخش منندی بر تک که از آن ها در موارد مختلف، کسب علم و تجربه خودم گذشتگ ننمایم.

از خانواده ام که موجات تحصیل و پیشرفت تاین مرحله را بایم فراموش نمودم، حامی ام بودند و زحمات مرآتگی شدند، قدردانی می نمایم و از خداوند رحان و رحیم عزت، سرمهندی و طول عمر بارکت برای به آمان خواسترم.

از دوستان عزیزم که داین دوران را بخواهد ممکن بودند صیانت قدردانی می کنم و موقیت های فراوان دعایم مرابل نزگی برای به آمان خواسترم.

## چکنده

از مهمترین چالش های شبکه های قدرت مجزا، ایجاد تعادل بین توان تولیدی و توان مصرفی و در نتیجه پایداری فرکانس در هنگام ایجاد اغتشاشات است. این موضوع موقعي اهمیت بیشتری پیدا می کند که ضریب نفوذ واحدهای بادی در شبکه تغذیه بالا باشد. در چنین شبکه هائی به علت تغییرات مداوم بار و باد، نیاز به تنظیم پیوسته ای توان تولیدی متناسب با توان مصرفی بار می باشد، تا فرکانس در محدوده ای نامی حفظ شود. در شبکه های قدرت امروزی، در مزارع بادی از توربین های متصل به ژنراتور از دو سو تغذیه استفاده می شود. به دلیل مزایایی از قبیل کاهش هزینه ای نورتر، کنترل گشتاور و افزایش بازده مزارع بادی، استفاده از ژنراتور های از دو سو تغذیه مورد توجه قرار گرفته است.

در این تحقیق، با طراحی و ارائه یک سیستم هماهنگ کننده علاوه بر افزایش بازدهی سیستم، فرکانس سیستم به بهترین شکل کنترل شده است. در این پایان نامه یک مزرعه بادی مستقل از شبکه که متشکل از ژنراتور القایی از دو سو تغذیه متصل به توربین بادی، بار ثانوی و یک ژنراتور سنکرون به همراه یک هماهنگ کننده است، به منظور بررسی کارایی سیستم معرفی شده تغییرات فرکانس در هنگام تغییرات سرعت باد و بار مصرف کننده مورد مطالعه قرار گرفته است. نتایج بدست آمده نشان می دهند، عملکرد سیستم در کنترل فرکانس به هنگام ایجاد اغتشاشات، در زمان استفاده از هماهنگ کننده نسبت به زمان استفاده از کنترل زاویه گام به تنهایی بهبود می یابد. شبیه سازی این سیستم توسط نرم افزار MATLAB انجام شده است.

کلمات کلیدی: مولدهای بادی، ژنراتور از دو سو تغذیه، کنترل فرکانس، سیستم هماهنگ کننده، بار ثانوی.

## فهرست مطالب

عنوان	صفحه
فصل اول- مقدمه	۱
۱- مقدمه	۱
۲- هدف از انجام پایی ان نامه	۲
فصل دوم- انرژی باد و توربین های بادی	۴
۲-۱ تاریخچه	۴
۲-۲ اهمیت انرژی باد	۶
۲-۳ روابط انرژی باد	۸
۲-۴ ساختار توربین های بادی	۱۰
۲-۴-۱ توربین های سرعت ثابت	۱۱
۲-۴-۲ توربین های سرعت متغیر	۱۳
۲-۵ مدل توربین بادی	۱۶
۲-۵-۱ مدل آنودی نامی کی توربین بادی	۱۶
۲-۵-۲ مدل مکانیکی توربین بادی	۲۰
۲-۶ کنترل توان و سرعت در توربین	۲۱
۲-۶-۱ حالت اول- سرعت باد کمتر از سرعت قطع پایین ( $V_w < V_c$ )	۲۲
۲-۶-۲ حالت دوم- عملکرد کنترل سرعت، گشتاور ویا توان ( $V_c < V_w < V_r$ )	۲۲
۲-۶-۳ حالت سوم- سرعت باد بیش از مقدار نامی و کمتر از مقدار قطع بالا ( $V_r < V_w < V_f$ )	۲۳
۲-۶-۴ حالت چهارم- سرعت باد بیش از حد سرعت بیشینه مجاز ( $V_w > V_f$ )	۲۳
۷-۱ پیشنهاد تحقیق	۲۳
۷-۲ جمع بندی	۲۵
فصل سوم- کنترل فرکانس با استفاده از توربین بادی	۲۶
۳-۱ مقدمه	۲۶
۳-۲ پاسخ ایمنی واحدهای بادی	۲۷
۳-۳ کنترل اولیه فرکانس توسط واحدهای بادی	۲۹

۳۲	۱-۳-۳ کنترل فرکانس با استفاده از کنترل مبدل سمت روتور
۳۴	۲-۳-۳ کنترل فرکانس با زاویه گام پره
۳۶	۳-۳ کنترل فرکانس بوسیله بار ثانویه
۳۷	۵-۳ جمع بندی
۳۸	<b>فصل چهارم- ساختار سیستم کنترلی</b>
۳۸	۴-۱ مقدمه
۳۹	۴-۴ ساختار کلی سیستم
۴۰	۴-۱ توربین بادی سرعت متغیر
۴۱	۴-۲ ژنراتور القایی از دو سو تغذیه
۴۶	۴-۳-۲-۴ کنترل زاویه گام
۴۹	۴-۴-۲-۴ کنترل فرکانس توسط بار ثانویه
۵۰	۴-۵-۲-۴ معرفی یک سیستم هماهنگ کننده
۵۴	۴-۶-۲-۴ بار اصلی سیستم
۵۴	۴-۷-۲-۴ ژنراتور سنکرون سه فاز کمکی
۵۴	۴-۳ جمع بندی
۵۵	<b>فصل پنجم- نتایج عددی</b>
۵۵	۱-۵ مقدمه
۵۵	۲-۵ اطلاعات شبیه سازی
۵۶	۳-۵ نتایج شبیه سازی
۵۶	۱-۳-۵ تغییر باد
۵۶	۱-۱-۳-۵ بررسی اثر تغییر سرعت باد بدون حضور کنترل کننده و هماهنگ کننده
۶۲	۲-۱-۳-۵ بررسی اثر تغییر سرعت باد با حضور کنترل کننده و بدون هماهنگ کننده
۶۹	۳-۱-۳-۵ بررسی اثر تغییر سرعت باد با حضور کنترل کننده و هماهنگ کننده
۷۵	۲-۳-۵ تغییر همزمان باد و بار
۷۵	۱-۲-۳-۵ بررسی اثر تغییر همزمان باد و بار بدون حضور کنترل کننده و هماهنگ کننده
۸۱	۲-۲-۳-۵ بررسی اثر تغییرات همزمان باد و بار با حضور کنترل کننده و هماهنگ کننده
۸۷	۳-۲-۳-۵ بررسی اثر تغییر همزمان باد و بار با حضور کنترل کننده و هماهنگ کننده

۹۴ .....	۴- نتیجە گىرى
۹۵ .....	فصل ششم- نتىجە گىرى و پىشنهادات
۹۵ .....	۶- نتىجە گىرى
۹۷ .....	۲- پىشنهادات
۹۹ .....	پىوست ھا
۱۰۶ .....	مراجع

## فهرست شکل ها

عنوان	صفحه
شکل ۱-۲ نمودار بزرگترین توربین های بادی ساخته شده در دنیا.....	۵
شکل ۲-۲ ظرفیت تولید برق از انرژی باد از سال ۱۹۹۶ تا سال ۲۰۱۱.....	۶
شکل ۳-۲ مقایسه ده کشور جهان با بیشترین ظرفیت بادی.....	۷
شکل ۴-۲ تابع چگالی احتمال توزیع رایمی. سرعت های متوسط باد ۵ (پی وسته) و ۷ (خط چین) و ۱۰ (نقطه چین).....	۹
شکل ۵-۲ توان الکتریکی بر حسب مقدار مختلف سرعت توربین.....	۱۰
شکل ۶-۲ ساختار سرعت ثابت توربین های بادی.....	۱۱
شکل ۷-۲ توربین ژنراتورهای سرعت متغیر (الف) ساختار ژنراتور سنکرون با القایی با مبدل کامل و جعبه دنده ب) ساختار ژنراتور سنکرون قطب بالا با مبدل کامل و بدون چرخ دنده (ج) ساختار DFIG.....	۱۲
شکل ۸-۰ تعامل اجزاء آئرودینامیکی، مکانیکی و الکتریکی.....	۱۵
شکل ۹-۲ منحنی $C_p$ بر حسب $\lambda$ در مقدار مختلف $\beta$ .....	۱۹
شکل ۱۰-۲ منحنی توان گرفته شده از باد بر حسب سرعت بادهای متفاوت.....	۲۱
شکل ۱-۳ پاسخ فرکانسی شبکه قدرت به اغتشاشات و کنترل اولیه فرکانس.....	۲۸
شکل ۲-۳ حلقه ای کنترل کننده دروپ در تولیدات پراکنده.....	۲۹
شکل ۳-۳ حلقه کنترل کننده دروپ در توربین های بادی.....	۲۹

شکل ۳-۴ شکل منحنی گشتاور توربین بادی بر حسب سرعت روتور.....	۳۱
شکل ۲-۵ طرح کلی کنترل اوایله فرکانس در سمت روتور.....	۳۲
شکل ۳-۶ تغییر توان خروجی در اثر تغییر زاویه گام.....	۳۳
شکل ۷-۳ کنترل دروپ زاویه گام.....	۳۴
شکل ۴-۱ ساختار کلی سیستم مدل سازی شده.....	۳۷
شکل ۴-۲ بلوک دیاگرام توربین بادی.....	۳۸
شکل ۴-۳ معادله مداری تک فاز در حالت پایدار DFIG	۴۰
شکل ۴-۴ ساختاری که DFIG	۴۱
شکل ۴-۵ ساختار کنترلی مبدل سمت روتور.....	۴۲
شکل ۴-۶ ساختار کنترلی مبدل سمت شبکه.....	۴۳
شکل ۴-۷ ساختار بلوک کنترلی زاویه گام.....	۴۴
شکل ۴-۸ ساختار داخلی تنظیم کننده فرکانس.....	۴۷
شکل ۴-۹ ساختار داخلی هماهنگ کننده.....	۴۸
شکل ۵-۱ نمودار روند تغییرات سرعت باد.....	۵۴
شکل ۵-۲ نمودار روند تغییرات فرکانس شبکه.....	۵۵
شکل ۵-۳ نمودار ولتاژ لینک DC ژنراتور القایی.....	۵۶

.....	شکل ۵-۴ نمودار تغییرات زاویه گام
۵۷.....	.....
.....	شکل ۵-۵ نمودار توان اکتیو و تولیدی توسط توربین بادی
۵۷.....	.....
.....	شکل ۵-۶ نمودار توان راکتیو و توربین بادی
۵۸.....	.....
.....	شکل ۵-۷ نمودار توان اکتیو و ژنراتور سنکرون
۵۹.....	.....
.....	شکل ۵-۸ نمودار توان راکتیو و ژنراتور سنکرون
۵۹.....	.....
.....	شکل ۵-۹ نمودار روند تغییرات سرعت باد
۶۰.....	.....
.....	شکل ۱۰-۵ نمودار روند تغییرات فرکانس شبکه
۶۱.....	.....
.....	شکل ۱۱-۵ نمودار ولتاژ لینک DC ژنراتور القایی
۶۱.....	.....
.....	شکل ۱۲-۵ نمودار تغییرات زاویه گام
۶۲.....	.....
.....	شکل ۱۳-۵ نمودار توان اکتیو و تولیدی توسط توربین بادی
۶۳.....	.....
.....	شکل ۱۴-۵ نمودار توان راکتیو و توربین بادی
۶۴.....	.....
.....	شکل ۱۵-۵ نمودار توان اکتیو و بار ثانویه
۶۵.....	.....
.....	شکل ۱۶-۵ نمودار توان اکتیو و ژنراتور سنکرون
۶۵.....	.....
.....	شکل ۱۷-۵ نمودار توان راکتیو و ژنراتور سنکرون
۶۶.....	.....
.....	شکل ۱۸-۵ نمودار روند تغییرات سرعت باد
۶۷.....	.....

شکل ۱۹-۵ نمودار روند تغییرات فرکانس

شبکه ..... ۶۸

شکل ۲۰-۵ نمودار ولتاژ لی نک DC ژنراتور

القایی ..... ۶۹

شکل ۲۱-۵ نمودار تغییرات زاویه

گام ..... ۷۰

شکل ۲۲-۵ نمودار توان اکتی و تولیدی توسط توربین

بادی ..... ۷۰

شکل ۲۳-۵ نمودار توان راکتی و توربین

بادی ..... ۷۱

شکل ۲۴-۵ نمودار توان اکتی و بار

ثانوی ..... ۷۱

شکل ۲۵-۵ نمودار توان اکتی و ژنراتور

سنکرون ..... ۷۲

شکل ۲۶-۵ نمودار توان راکتی و ژنراتور

سنکرون ..... ۷۲

شکل ۲۷-۵ نمودار سرعت باد

۷۳ ..... شکل ۲۸-۵ نمودار توان اکتی و بار

اصلی ..... ۷۴

شکل ۲۹-۵ نمودار روند تغییرات فرکانس

شبکه ..... ۷۵

شکل ۳۰-۵ نمودار ولتاژ لی نک DC ژنراتور

القایی ..... ۷۵

شکل ۳۱-۵ نمودار تغییرات زاویه

گام ..... ۷۶

شکل ۳۲-۵ نمودار توان اکتی و تولیدی توسط توربین

بادی ..... ۷۶

شکل ۳۳-۵ نمودار توان راکتی و توربین

بادی ..... ۷۷

شکل ۵-۳۴ نمودار توان اکسی و ژنراتور سنکرون	۷۸.....
شکل ۵-۳۵ نمودار توان راکتیو ژنراتور سنکرون	۷۸.....
شکل ۵-۳۶ نمودار سرعت باد	۷۹.....
شکل ۵-۳۷ نمودار توان اکسی و بار اصلی	۸۰.....
شکل ۵-۳۸ نمودار روند تغییرات فرکانس شبکه	۸۱.....
شکل ۵-۳۹ نمودار ولتاژ لی نک DC ژنراتور القایی	۸۱.....
شکل ۵-۴۰ نمودار تغییرات زاویه گام	۸۲.....
شکل ۵-۴۱ نمودار توان اکسی و تولیدی توسط توربین بادی	۸۳.....
شکل ۵-۴۲ نمودار توان راکتیو و توربین بادی	۸۳.....
شکل ۵-۴۳ نمودار توان اکسی و بار ثانویه	۸۴.....
شکل ۵-۴۴ نمودار توان اکسی و ژنراتور سنکرون	۸۴.....
شکل ۵-۴۵ نمودار توان راکتیو و ژنراتور سنکرون	۸۵.....
شکل ۵-۴۶ نمودار سرعت باد	۸۶.....
شکل ۵-۴۷ نمودار توان اکسی و بار اصلی	۸۶.....
شکل ۵-۴۸ نمودار روند تغییرات فرکانس شبکه	۸۷.....

شکل ۴-۵ نمودار ولتاژ لی نک DC ژنراتور

القایی..... ۸۸

شکل ۵-۰ نمودار تغییرات زاویه

گام..... ۸۹

شکل ۵-۱ نمودار توان اکتی و تولیدی توسط توربین

بادی..... ۸۹

شکل ۵-۲ نمودار توان راکتی و توربین

بادی..... ۹۰

شکل ۵-۳ نمودار توان اکتی و بار

ثانویه..... ۹۰

شکل ۵-۴ نمودار توان اکتی و ژنراتور

سنکرون..... ۹۱

شکل ۵-۵ نمودار توان راکتی و ژنراتور

سنکرون..... ۹۱

## فصل اول - مقدمه

### ۱-۱ مقدمه

امروزه انرژی الکتریکی به صورت وسیع در خانه‌ها و صنعت مصرف می‌شود و مقدار زیادی از این انرژی توسط سوختهای فسیلی تامین می‌شود. اثرات مخرب زیست محیطی ناشی از سوختهای فسیلی از یک سو و کاهش منابع سوختی و افزایش قیمت این سوخت‌ها از سوی دیگر، کشورها را به سمت استفاده از منابع تجدیدپذیر سوق داده است. تولید بادی دارای مزایت‌هایی است که آن را از دیگر منابع تجدیدپذیر متمایز می‌سازد. اول آنکه در اکثر نقاط دنیا انرژی باد به صورت گستردگی و وسیع در دسترس می‌باشد و دوم نسبت به دیگر منابع تجدیدپذیر مانند سلول خورشیدی دارای هزینه نصب پایین تر بوده و بسیار با محیط سازگار است. به دلیل ساختار خاص توربین‌های بادی و نحوه کنترل آنها که وابسته به سرعت باد که غیر قابل پیش‌بینی و متغیر است، استفاده گستردگی از این توربین‌ها همراه با مشکلات فراوان در سطح انتقال و توزیع است. از جمله این مشکلات می‌توان به کنترل ولتاژ و توان راکتیو، ایجاد فلیکر ولتاژ و نوسانات ولتاژ، کنترل توان حقیقی و کنترل فرکانس اشاره نمود. تغییرات فرکانس در یک شبکه الکتریکی از نا متعادلی توان ناشی می‌شود. برای مثال، زمانی که توان تولیدی توربین‌های بادی از میزان مصرف بیشتر شود، ژنراتورها شتاب می‌گیرند و در نتیجه فرکانس افزایش می‌یابد. به طور مشابه زمانی که تولید ژنراتورها برای تقاضا کافی نباشد سرعت ژنراتورها و در نتیجه فرکانس کاهش خواهد یافت. هنگامی که یک توربین بادی کوچک به شبکه ای بزرگ متصل می‌شود، تاثیری بر فرکانس شبکه نمی‌گذارد. با این حال، وقتی توربین در یک سیستم جدا از شبکه کار می‌کند یک مزروعه بادی بزرگ به شبکه متصل می‌گردد، وضعیت فرق خواهد کرد، از آنجایی که سرعت بادی که پارامتر کاملاً غیر قطعی می-

باشد بنابراین میزان تولید توان در توربین های بادی دائماً در معرض تغییر می باشد. علاوه بر این میزان توان اکتیو مصرفی نیز یک پارامتر متغیر می باشد. بنابراین نیاز به کنترل تعادل بین توان اکتیو تولیدی و مصرفی در سیستم های بادی ایزوله به جهت حفظ تعادل فرکانس با در نظر گرفتن عوامل متغیر تعیین کننده ای که در این شبکه ها قرار دارند، افزایش پیدا می کند.

## ۱-۲ هدف از انجام پایان نامه

هدف از انجام این پایان نامه کنترل فرکانس در شبکه های مستقلی است که از انرژی باد به عنوان منابع تولید انرژی الکتریکی بهره می گیرند. ایجاد چنین شبکه هایی در بسیاری از نقاط که به انرژی باد دسترسی داشته و نیاز به بهره برداری مستقل از شبکه سراسری نیز وجود دارد، میسر است.

در یک شبکه تولید برق بادی، بار الکتریکی و باد ورودی های قابل کنترل سیستم می باشند و از آنجایی که بار الکتریکی و باد ماهیتی تغییر پذیر دارند، بنابراین فرکانس تمامی ل به تغییر دارد. لذا باید عواملی برای جبرانسازی تغییرات فرکانس ایجاد شود. در این پایان نامه، به منظور حفظ تعادل بین توان اکتیو تولیدی و توان اکتیو مصرفی از دو روش کنترل زاویه گام و کنترل توسط بار ثانویه بهره برده شده است. کنترل زاویه گام بوسیله تغییر زاویه پرهی توربین بادی امکان تنظیم توان اکتیو دریافتی مطابق با توان اکتیو مصرفی را میسر می کند. کنترل بار ثانویه با کمک تنظیم مقدار مقاومت بار ثانویه در هنگام کمبود میزان مصرف، تعادل بین توان اکتیو تولیدی و مصرفی را ممکن می سازد. به جهت کاهش انرژی تلف شده و بهبود عملکرد سیستم در کنترل فرکانس یک سیستم هماهنگ کننده طراحی شده است. با استفاده از این هماهنگ کننده، در موقعی که تغییرات همزمان در باد و بار مصرفی ایجاد می شود، بار ثانویه، زمان اغتشاش وارد مدار شده توان اضافی درون سیستم را مصرف می کند و پس از تثبیت فرکانس از

مدار خارج می شود. با این ایده تا حدودی راندمان سیستم بالا رفته و قابلیت اطمینان آن نیز به مراتب افزوده می شود.

تا آنجایی که مورد مطالعه قرار گرفته، برای اولین بار است که این روش در سیستمی که دارای ژنراتور از دو سو تغذیه به همراه توربین بادی سرعت متغیر است، استفاده شده است.

در فصل دوم، ابتدا تاریخچه و اهمیت انرژی باد مورد بررسی قرار گرفته است. سپس روابط توان و ساختارهای توربین بادی از جمله توربین سرعت ثابت و توربین سرعت متغیر ارائه شده است. همچنین برتری های توربین سرعت متغیر نسبت به توربین سرعت ثابت که در این پایان نامه از آن استفاده شده، در این فصل مورد بررسی قرار گرفته و در پایان مروری بر تحقیقات انجام یافته در زمینه‌ی کنترل فرکانس توربین های بادی و مشارکت آنها در کنترل فرکانس شبکه پرداخته شده است.

در فصل سوم، روش های مختلف کنترل فرکانس در توربین های بادی ارائه و شرح داده شده است.

در فصل چهارم، مدل سیستم مورد مطالعه و شرح بلوك دیاگرام های استفاده شده برای شبیه سازی سیستم و همچنین ساختار سیستم هماهنگ کننده ی طراحی شده، ارائه می شود.

در فصل پنجم، نمودار ها و نتایج حاصل از شبیه سازی برای ارزیابی سیستم پیشنهادی با درنظر گرفتن دو نوع اغتشاش در سیستم از قبیل تغییر سرعت باد و تغییر همزمان سرعت باد و میزان بار مصرفی، بیان می شود.

در فصل ششم، نتایج بدست آمده از انجام این پایان نامه و همچنین پیشنهاداتی برای تحقیقات آینده ارائه شده است.

## فصل دوم- انرژی باد و توربین های بادی

### ۱-۲ تاریخچه

حدود ۳۵۰۰ سال است انسان از انرژی باد استفاده می کند و قدیمی ترین مورد استفاده از آن در مصر باستان بوده است. مصریان قایق هایی می ساختند تا بتوانند برروی رودخانه نیل دریانوردی کنند و برای حرکت این قایق ها از نیروی باد استفاده می کردند [۱].

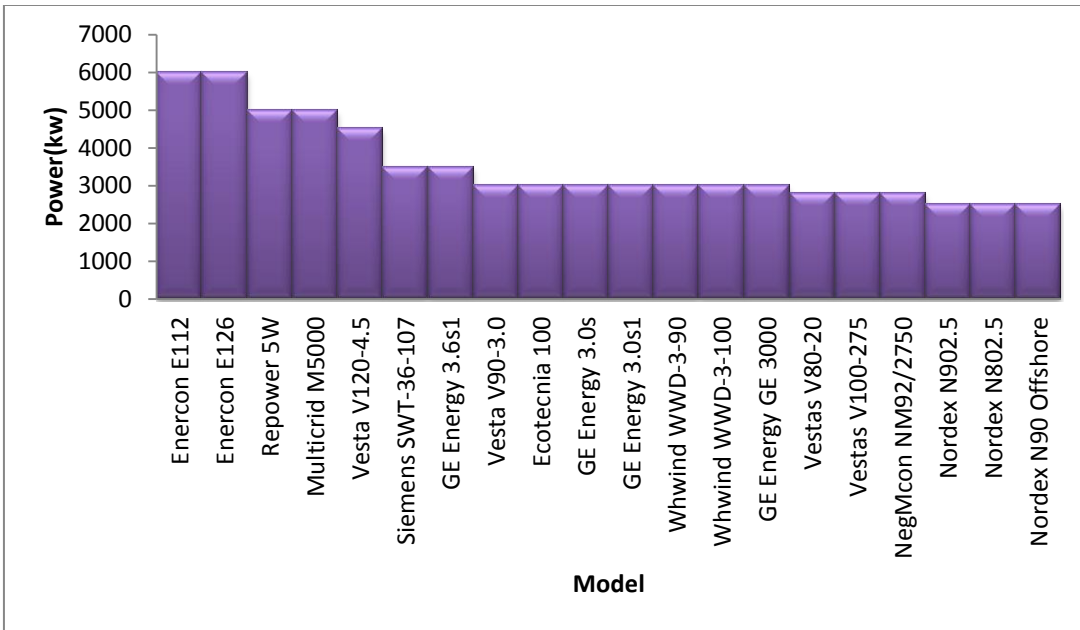
از اواخر قرن هجدهم میلادی و استفاده از ماشین بخار و ماشین های دیگر بر اساس روند ترمودینامیکی و دسترسی بالای سوخت های فسیلی، اقبال کلی را بسوی انرژی باد کم کرده بود. به همین دلیل در دو صدۀ ی بعد استفاده از انرژی باد رو به کاهش نهاد اما تحقیقات همچنان بر روی آنها صورت می گرفت [۲].

تا اوایل قرن بیستم از انرژی باد برای استحصال توان مکانیکی برای پمپ آب و آسیاب غلات مورد استفاده قرار می گرفت. با شروع صنعت مدرن کم از انرژی باد با انرژی سوخت های فسیلی جایگزین گشت و این انرژی توسط شبکه های قدرت بکار گرفته شد [۳].

اولین توربین های بادی که انرژی الکتریکی را به شبکه ها تحویل می دادند در اوایل قرن بیستم تولید شدند. تکنولوژی آنها تا اوایل سال ۱۹۷۰ بهبود یافت و از اواخر سال ۱۹۹۰ میلادی به کمی از مهمترین منابع انرژی تجدید پذیر در دنیا تبدیل گشت [۳].

در سال ۱۹۲۰ در دانمارک از توربین های بادی کوپل شده با باتری برای مصارف روشنایی استفاده می شد. در بین سالهای ۱۹۲۵ تا ۱۹۵۷ تعداد بسیار زیادی توربین بادی ۲/۵ تا ۳ کیلووات همراه با باتری ذخیره توسط کمپانی برادران جاکوب در آمریکا ساخته شد. در سال ۱۹۴۱ توربین بادی با توان ۱۲۵۰ کیلووات که شامل دو پره بادی بود در ورمونت آمریکا مورد آزمایش قرار گرفت. در بین سال های ۱۹۵۰ تا ۱۹۶۰ دو ژنراتور بزرگ در فرانسه مورد آزمایش قرار گرفت که اولی دارای پرهی با طول ۳۰ متر و توان نامی ۸۰۰ کیلووات بوده و دومی دارای توان نامی ۱۰۰۰ کیلووات که کوپل با یک ژنراتور سنکرون شده بود. در سال ۱۹۶۰ جورج داریوس، مهندس پرواز فرانسوی توربین های عمودی با دو پره را بهبود داد. توربین داریوس با قدرت ۴۰۰۰ کیلووات در سال ۱۹۸۳ در سواحل لورنس کبک در کانادا ساخته شد که بزرگترین توربین بادی در آن زمان بود [۲].

امروزه توربین های چندین مگاواتی برای کاربردهای مختلف ارائه می شود و تولیدکنندگان توربین های بادی در حال توسعه‌ی ۳ تا ۵ مگاواتی آنها هستند [۲]. بعد از سال ۲۰۰۵، توربین های بادی بزرگ به صورت سرعت متغیر ساخته شد و مورد استفاده قرار گرفت [۲]. بزرگترین توربینی که در بازار ارائه شده است، توربین E-126 متعلق به شرکت Enercon است، که توان ۶ مگاوات و قطر روتور ۱۲۶ متر را دارا می باشد. در شکل (۱-۲) بزرگترین توربین های بادی ساخته شده در دنیا با نام مدل آنها آورده شده است.



شکل ۱-۲ نمودار بزرگترین توربین های بادی ساخته شده در دنیا [۳].

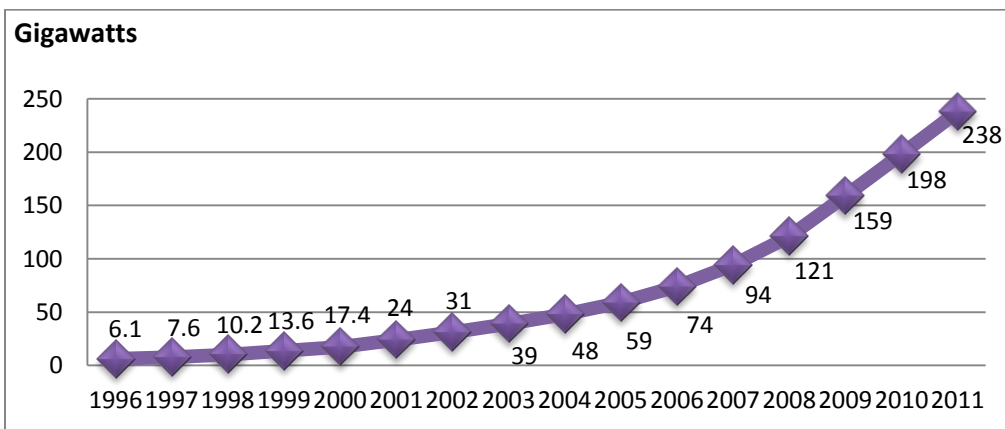
امروزه توان تولیدی توربین ژنراتورهای بادی را به سه دسته تقسیم می کنند [۴]:

- ۱- توربین ژنراتور های بزرگ که برای بازار برق و شبکه انرژی تولید می کنند.
- ۲- توربین های با تولید متوسط برای تولیدات صنعتی (توان تولیدی بین ۵۰ تا ۲۵۰ کیلووات).
- ۳- توربین های با سایز کوچک در مصارف شهری (از ۴۰۰ وات تا ۵۰ کیلووات).

## ۲-۲ اهمیت انرژی باد

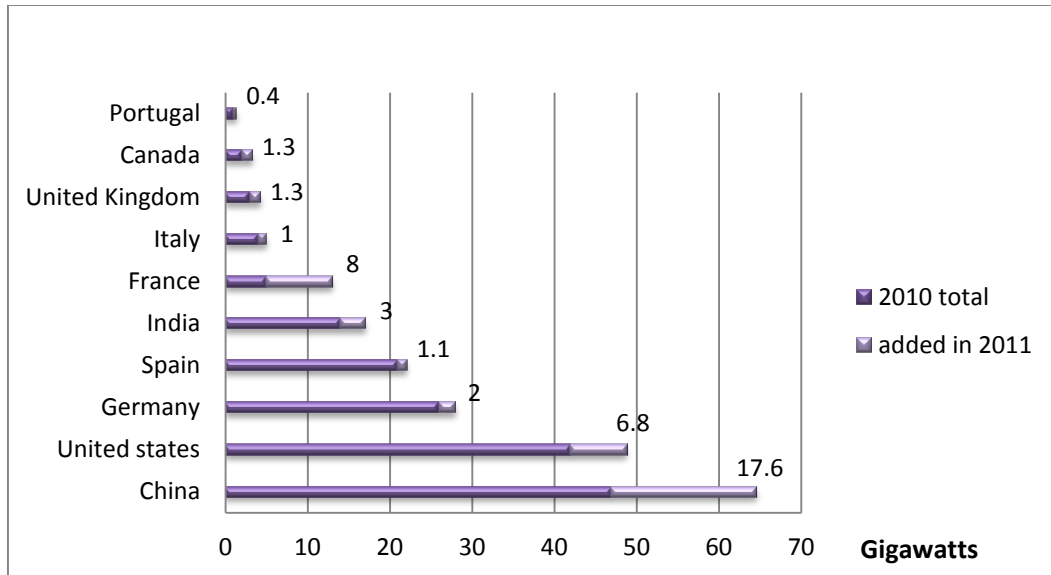
در گزارش سالانهی شورای بین المللی انرژی باد<sup>۱</sup>، که در سال ۲۰۱۲ در مورد توربین و مزارع بادی بیش از ۵۰ کشور جهان منتشر شده است، نشان می دهد که درصد استفاده از انرژی باد در بین سال های ۱۹۹۶ تا ۲۰۱۱ افزایش یافته است. همچنین با توجه به این گزارش در سال ۲۰۰۹، دنیا با رشد ۳۱ درصدی انرژی باد مواجه بود که دارای رقم تقریبی ۶۳ میلیارد دلاری است [۵]. با توجه به بحران مالی در کشورها در سال

های اخی ر تولید بادی همچنان رشد سریعی داشته و این رشد به علت پاک بودن، قابل اطمینان بودن و سرعت بالای نصب توربین های بادی است. ظرفیت تولید برق از انرژی باد از سال ۱۹۹۶ تا سال ۲۰۱۱ در شکل (۲-۲) نشان داده شده است.



شکل ۲-۲ ظرفیت تولید برق از انرژی باد از سال ۱۹۹۶ تا سال ۲۰۱۱ [۶].

همچنان ظرفیت بادی در ده کشور جهان که بیشترین استفاده را از انرژی باد دارند در شکل (۳-۲) نشان داده شده است. چین بزرگترین کاربر انرژی باد با ظرفیت تولید بیش از ۶۰ گیگاوات می باشد [۶].



شکل ۳-۲ مقایسه ده کشور جهان با بیشترین ظرفیت بادی [۶].

### ۳-۲ روابط انرژی باد

برای بررسی میزان وزش باد در یک منطقه از توابع چگالی احتمال سرعت باد استفاده می شود. تابع چگالی "احتمال ویبول"<sup>۲</sup> همخوانی مناسبی با توزیع سرعت باد در مناطق مختلف دارد [۷]، [۸] تابع ویبول به صورت رابطه ۱-۲ انگاشته می شود:

(۱-۲)

$$f(v_w) = \frac{k}{c} \left( \frac{v_w}{c} \right)^{k-1} e^{-\left(\frac{v_w}{c}\right)^k}$$

که در آن  $v_w$  سرعت باد،  $c$  ثابت نرمای زه کننده سرعت می باشد که معمولاً برای مناطق مختلف عددی بین ۳ تا ۹ متر بر ثانیه است و  $k$  ثابتی است که به جهت وزش باد و ضریب های فصلی بستگی دارد و حدود ۲ است [۹].

2- Weibull